# 基于LLC谐振变换器的蓄电池充电 控制策略设计

LLC谐振变换器开关频率高,具有较高的控制准确度和 功率密度,加上拓扑结构简单,是适合蓄电池充电控制的一 种有效拓扑。蓄电池充电控制需要多种充电模式且各模式之 间能自动进行切换,输出的电压电流准确度、纹波大小要满 足一定要求。针对此要求,通过理论分析、仿真和样机测试 进行专门研究,主要工作:①设计了恒压充电、恒流充电和 浮充电等充电模式,并实现快捷平滑切换: ②采用双单环 PI算法,控制策略考虑并机工况: ③对浮充电(空载/轻 载)进行专门设计,提高全程性能。搭建了仿真模型和一 台800 W实验样机, 仿真和实验结果均表明, LLC谐振变换 器在15 ms内输出即可达到给定值,可自动切换模式对蓄电 池充电, 空载时仍可稳定输出电压, 并机均流度较好。

林志法' 窦震海² 宋冬冬1.3 杜海江1/1.中国农业大学信息与电气工程学院 2. 山东理工大学电气与电子工程学院 3. 河北科技师范学院机电工程学院

# 引言



林志法/硕士研究生

关键词/Keywords LLC谐振变换器· 蓄电池充电。

> 多种充电模式・ 并机运行・

双单环控制•

蓄电池,又被称为二次电池,具有 能量密度大、输出响应快、成本低及可进 行反复充放电等优点, 在无电网供电或事 故备用等场合应用较多,如微网建设、新 能源汽车、不间断供电电源(UPS)以及 变电站直流系统等[1]。为了保证蓄电池的 充电安全和使用寿命, 对充放电功率变换 器的功能和技术要求包括: 充电时要在多 种充电模式下进行[2-3],包括恒压充电、 恒流充电、恒功率充电及浮充电等,不 同模式之间能够根据工况需求进行自动 切换, 使充电过程尽可能接近蓄电池充 电特性曲线。当蓄电池在充电过程中出 现异常状态时, 充电电源需迅速进行保 护,保证蓄电池安全。

LLC高频谐振变换器是一种高效的功 率变换器,全桥、半桥式LLC谐振变换器 分别适合于大功率和中小功率场合。由 于具备体积小、功率密度高及自然软开 关等优点,广泛应用在电池充电领域[4]。 通过检索文献发现, 其应用难点有三个 方面:环路控制结构设计:轻载和空载 处理;并机控制设计。

文献[5]采用双环控制算法,可以实 现恒压和恒流充电的自动切换, 但浮充 电时, 电流变得很小, 内环调节的准确 度难以保证。文献[6-8]对浮充电进行单 独处理, 在空载或轻载时均采用间歇发 波控制方式, 即当电压低于阈值时开始 发波, 高于阈值时停止发波, 此种方式 可以维持输出电压在给定值附近, 但输 出电压会呈锯齿状,波动较大,不易满 足蓄电池充电对电压准确度的要求。

并机是提高可靠性和实现大功率的 有效途径,从并机策略来看,可将现有 的并机方式分为主从式[9]和对等式。主从 式中主机控制直流母线电压, 从机控制输 出电流,均流效果好,但系统对主机依赖 性强,对等式主要有下垂控制法[10]、最大 电流均流控制法[11]和平均电流均流控制 法[12-13]。下垂控制法各并联单元采集自身 数据并独立调节使输出特性趋于一致, 从而进行均流,该方法总输出电压纹波 较大。最大电流均流控制法和平均电流 均流控制法均采用双环控制,并在外环 中加入最大电流或平均电流前馈,以消 除单元间的电流不均衡。从并机运行数 据的获取来看,可分为基于高速通信和 基于采样电路方式,如主从并机中,主 机可通过通信给从机下发电流给定值,

也可通过采样电路将总电流送到从机从而获得电 流给定值; 又如最大电流法和平均电流控制法 中,可通过CAN总线得到最大电流或平均电流, 也可通过采样电路与模拟电路,建立最大电流母 线和平均电流母线。

基于前述工作和经验,设计了电压与电流分 离的双单环控制和主从式并机控制策略,并进行 仿真和实验验证。

# 1 拓扑结构

由于蓄电池充电容量多是中小功率,故以下 采用半桥式LLC谐振变换器为例进行论述。如图1 所示, 半桥式LLC谐振变换器可分为功率部分和 控制部分, 功率部分主要由全桥不控整流电路、 逆变电路、隔离电路及全波整流电路等组成。逆 变电路由半桥开关电路和谐振电路构成, 多个绝 缘栅双极性晶体管MOSFET并联构成Q<sub>1</sub>和Q<sub>2</sub>,通 过Q<sub>1</sub>和Q<sub>2</sub>的交替开关, 逆变出单极性的脉冲列, 谐振电路由谐振电感 $L_r$ 、谐振电容 $C_r$ 和变压器励磁 电感 $L_m$ 组成,通过谐振使开关实现软开通,形成 的脉冲列经隔离变压器传输到二次侧, 最后通过 全波整流电路便得到给蓄电池充电的可调直流电 源。控制部分主要由采样模块、调节器和驱动模 块组成,采集模块采集功率部分的输出量作为反 馈,送到控制器进行运算,并将控制器输出量经 过驱动电路作用于开关管,最终形成闭环调节。

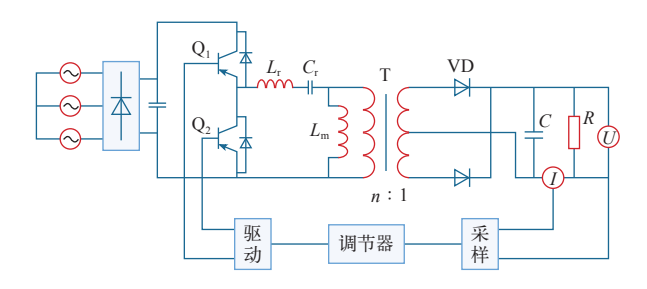


图1 半桥式LLC谐振变换器的电路拓扑图

## 2 运行增益分析

利用基频分量法对如图1所示的电路拓扑进行 分析,可得到变换器的传递函数和输出电压增益 与Q<sub>1</sub>、Q<sub>2</sub>开关频率的关系。根据串联分压原理, 可得传输函数

$$H(j\omega) = \frac{j\omega L_{\rm m} \| R_{\rm eq}}{j\omega (L_{\rm m} + L_{\rm r}) + \frac{1}{j\omega C_{\rm r}}}$$
(1)

$$f_{r} = \frac{1}{2\pi\sqrt{L_{r}C_{r}}}$$

$$f_{m} = \frac{1}{2\pi\sqrt{(L_{m} + L_{r})C_{r}}}$$

$$f_{n} = \frac{f}{f_{r}}$$

$$k = \frac{L_{m}}{L_{r}}$$

$$Q = \frac{\sqrt{\frac{L_{r}}{C_{r}}}}{R_{eq}}$$

$$R_{eq} = \frac{8n^{2}}{\pi^{2}}R$$
(2)

利用式(2)对式(1)进行化简整理,可得

$$H(j\omega) = \frac{1}{1 + \frac{1}{k} - \frac{1}{f_n^2 k} + jQ \left( f_n - \frac{1}{f_n} \right)}$$
(3)

输出电压增益M为传递函数的模,即

$$M = |H(j\omega)| = \frac{1}{\sqrt{1 + \frac{1}{k} - \frac{1}{f_n^2 k} + Q^2 \left(f_n - \frac{1}{f_n}\right)^2}}$$
 (4)

当隔离变压器电压比为1:1,除负载外其他 电路参数不变时,根据输出电压增益曲线的表达 式,可得到不同品质因数(负载电阻R)和开关频 率与输出电压关系图,如图2所示。从图2中可以 看出,同一开关频率,品质因数越小(负载电阻 越大),输出电压增益越大,同一品质因数,输

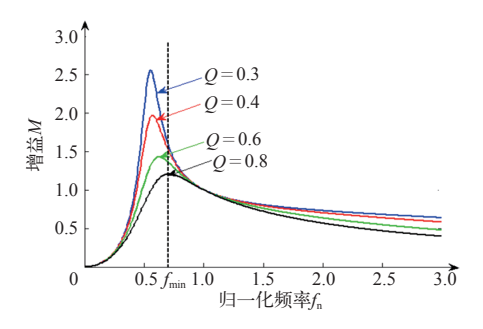


图2 输出电压增益与开关频率关系曲线图

出电压增益随频率的增大先增大后减小。由于设备工作在高频区间,最低频率 $f_{min}$ 大于所有增益拐点所对应的最大频率,所以输出电压增益与开关频率成反比,根据这一特点,便可通过调节开关频率的大小改变输出蓄电池充电电压。

# 3 充电控制策略设计

#### 3.1 多种充电模式的自动切换

每个单元上电初始化后, 软件进入超循环 并启动各中断例程。通过通信获取上位机发来的 充电模式指令,依据一定规则设定本机工作模式 (单机/并机主机,或从机),若设备单机运行 或作为并机主机运行,则以上位机下发的充电模 式开始工作,在充电过程中,根据判据向其他充 电模式进行迅速切换, 达到蓄电池的最佳充电状 态。当进行恒流充电时, 若输出电压略大于恒压 充电电压值时,单元切到恒压充电模式,若恒压 模式下充电电流增大, 当大于恒流充电值时, 再 次切回恒流充电模式。蓄电池恒压充电过程中输 出电流会随蓄电池充电容量的增加而逐渐减小, 当电流小于恒压充电最小电流设定值时, 切到浮 充电(空载/轻载)模式。浮充电过程中,若电 池放电严重导致单元输出电流大于恒压充电最小 电流设定值时,返回恒压充电。在任一充电模式 中发生短路时,单元会直接进入短路保护,若发 生的是瞬时故障, 单元会重新恢复到最佳充电模 式。当单元作为并机从机运行时,则不会工作在 恒压充电模式, 只会在恒流充电、浮充电和短路 保护之间按以上方式进行切换。

#### 3.2 双单环闭环调节及空载处理

恒压充电和恒流充电采用双单环PI控制算法,如图3所示。将输出电压和电流控制算法分为两个控制环,电压环采集输出电压,与电压给定值做差,经PI运算得到开关频率,再进行正常调制并加入开关管固定死区时间 $T_d$ ,最后得到可触发开关管的脉冲,形成电压单环调节,同理,电流环采集输出电流进行电流单环调节。

蓄电池充满电后,等效负载将变小,电压有

不断升高的趋势,需进行浮充电(空载/轻载)处理。浮充电过程中,电压必须恒定,过高或出现较大纹波均会使蓄电池出现劣化。由于浮充电功率较小,从机单元停止运行并进入待机状态。主机单元进入浮充电模式时,仍通过电压环进行控制,如图3所示,但要进行浮充调制以加入比正常工作更大的固定开关管死区时间 $T_{d2}$ 。加大死区时间后,占空比会随开关频率的增大而变小,开关频率最大时,占空比会减小到零。因此,浮充电结合了调频和调脉宽两种控制方式,使得电源能量更加平滑输出,不仅电压输出准确度高,还可减小电压纹波,满足了蓄电池对浮充电的高要求。

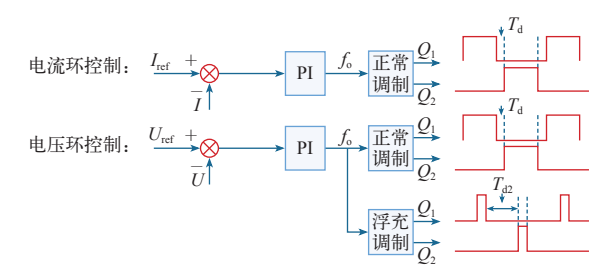


图3 双单环控制图

## 3.3 并机运行的实现

LLC谐振变换器具有可选的工作模式,以满足扩展和冗余要求。工作模式为单机运行时,设备可在多种充电模式之间进行自动切换。工作模式为并机工作时,采用主从控制,一台为主机单元,其余为从机单元。主机负责与上位机数据交换,并且可工作于定电压模式,从机仅与主机进行数据交换或获取上位机广播指令,不会工作于定电压模式。每台单机除了采样输出电压和本机输出电流量,也通过总负载电流传感器二次侧采样总输出电流用于均流控制。具体工作流程按文献[14]提出的有限状态机进行描述,如图4所示。

为保证各单元能够并机运行,设计了一种总电流采样方式的主从控制法。在运行过程中,主机控制母线电压,从机进行均流。从机采集总电流求平均后获得本机的输出电流给定值。如图5所示,在输出总电流的母线上,串入一个4端子的电流型霍尔元件,从信号端子M引出的导线依次通过每个单元采样模块的采样电阻,最后回到信号地端子G,

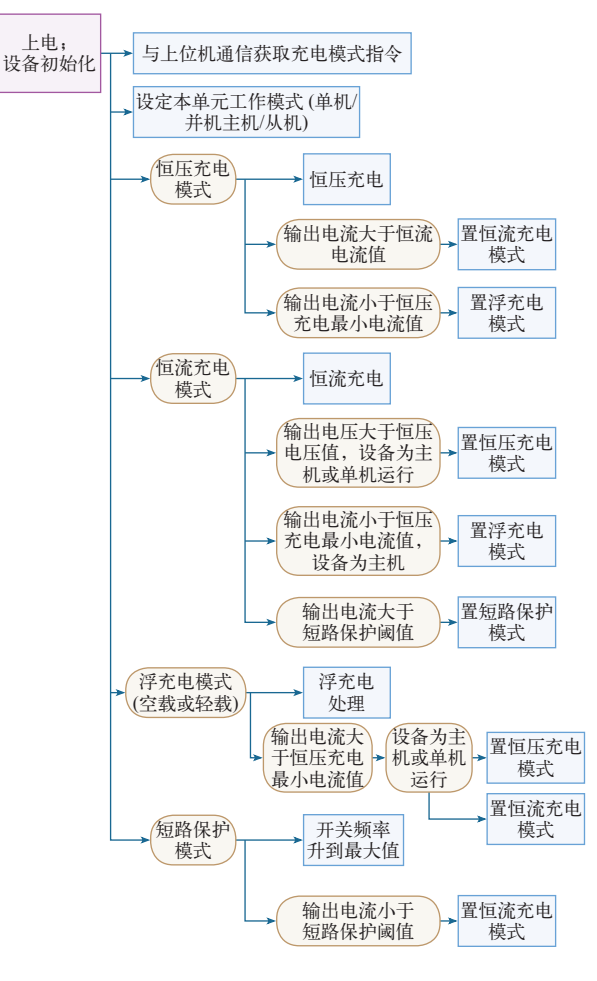


图4 充电过程流程图

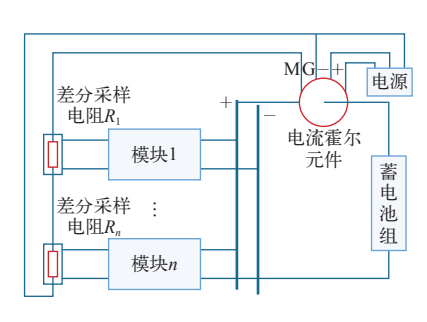


图5 总电流采集示意图

采样电路将采样电阻电压处理后送入控制器,所有单元便通过一个采样元件获得了总电流,简化了硬件结构。主机只需将所有单元数量通过通信线广播给从机,用于从机求取平均电流参考值。

#### 4 仿真和实验验证

为了验证所设计功率回路、控制策略的有效 性,设计了仿真和实验平台,实验平台采用半实 物仿真方式,即用dSPACE作为控制器,功率回路 用实物搭建。鉴于dSPACE只有一路高频信号输出 口,设计了CPLD电路和程序将调节器输出的一路 频率信号转换成带死区且死区可调的两路PWM信 号以驱动*LLC*。仿真和实验参数如下表所示,设计 了以下两种典型工况,并进行两个单元并机运行 测试。

表 仿真和实验电路参数

参数	数值
谐振电感L <sub>r</sub> /μH	14
谐振电容C,/nF	244
变压器励磁电感 $L_{m}/\mu H$	38.5
变压器电压比n	1
经整流后的输入电压 $U_i/V$	250
恒压充电电压值 $U_o/V$	150
恒流充电电流值I。/A	5
浮充电电压值 $U_{\mathfrak{e}}/V$	145
正常开关管死区时间 $T_d$ / $\mu$ s	1
空载开关管死区时间 $T_{dz}/\mu s$	6
工软月大目死区时间1 <sub>d2</sub> /β3	Ö

- 1)设备开机后进入恒流充电模式,过渡到恒 压充电模式,最后进入浮充电模式。
- 2) 负载输出侧在充电过程中发生短路,设备自动切入短路保护状态。

以上工况测试均用电阻模拟蓄电池,通过改变电阻大小促使设备进行不同充电模式的切换。 恒流充电时电阻25  $\Omega$ ,恒压充电时电阻50  $\Omega$ ,浮充电时电阻13  $k\Omega$ ,并用开关将电阻短路模拟蓄电池短路状态。仿真与实验结果如图6、图7所示。

如图6a所示,通过负载电阻的切换,模拟蓄电池充电过程,首先将负载电阻设为25 Ω,进行恒流充电,输出电流为5 A;之后将负载电阻切到50 Ω,电压有瞬间升高趋势,当高于恒压充电充电阈值150 V时,自动切到恒压充电,输出电压150 V;待恒压充电稳定后,将负载电阻切到13 kΩ,电流迅速变小,当小于恒压充电最小电流阈值500 mA时,设备切到浮充电模式,电压稳定在浮充电电压值145 V。图6b的模拟充电实验过程输出电压和电流的变化趋势与仿真波形图相同。

如图7a所示,在恒流充电时,负载侧发生短路,电流瞬间变大到300 A,调节器迅速将开关频

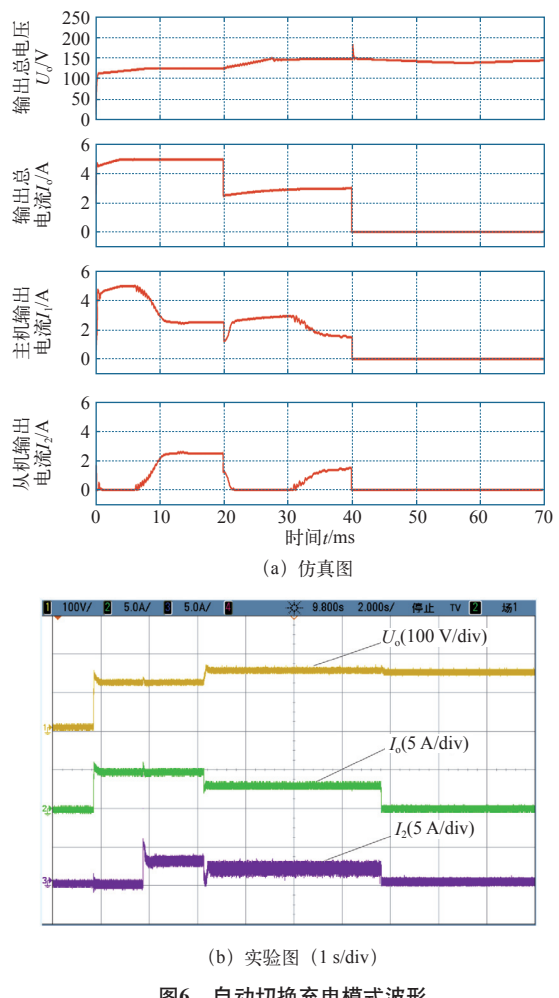


图6 自动切换充电模式波形

率升高,到达最大值,抑制短路电流,此时电压 也随之减小到几毫伏, 电流控制在20 A以下, 短路 时输出功率得到控制。如图7b所示,实验与仿真 波形对比, 仿真由于采用理想器件使得短路瞬间 电流较大,其余工况波形基本一致。

#### 结束语

- 1)设计了双单环的控制结构,设备能完成恒 压、恒流及浮充等充电模式且可以自动无缝切换。
- 2) 采用浮充电(空载/轻载)时增大开关管死 区时间并正常调频调节的方式, 可有效提高浮充 电(空载/轻载)输出电压准确度,减小纹波。
- 3) 利用主从式并机方式,对每个单元获取 总电流的方式进行了简化, 实现了两台设备的并 行,均流效果较好。针对典型工况的仿真与实验 结果验证了所提方法的有效性。

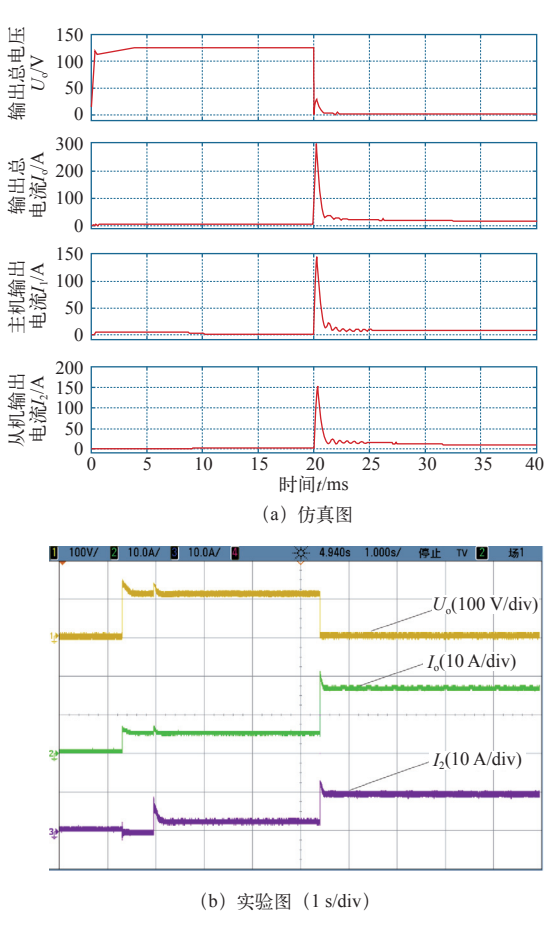


图7 负载短路保护仿真图 参考文献

- 向育鹏,卫志农,孙国强,等.基于全寿命周期 成本的配电网蓄电池储能系统的优化配置 [J]. 电 网技术, 2015, 39(1): 264-270.
- 廖金华,李建黎. 铅酸蓄电池充电技术综述 [J]. [2] 蓄电池, 2010, 47(3): 132-135.
- Fariborz Musavi, Marian Craciun, Deepak S Gautam, et al. An LLC resonant DC-DC converter for wide output voltage range battery charging applications [J]. IEEE Transactions on Power Electronics, 2013, 28 (12): 5437-5445.
- Dow Y S, Son H I, Hyeoun-Dong Lee. A study on [4] half bridge LLC resonant converter for battery charger on board [C]. 8th International Conference on Power Electronics, 2011: 2694-2698.
- 唐亮, 刘爱忠, 李勇, 等. 基于TMS320F2801数 [5] (下转第64页)

## 电能质量 | Power Quality

其受影响较小;邻近负载是电压源型非线性负载 时,其受影响较大,其谐波发生放大或减小受被 补偿负载特性的影响。

3) 当邻近的电压源型非线性负载发生谐波放大时,可以采取改变系统结构和控制策略的方法来抑制谐波放大。

#### 参考文献

- [1] Asiminoaei L, Rodriguez P, Blaabjerg F.
  Application of discontinuous PWM modulation in active power filters [J]. IEEE Transactions on Power Electronics, 2008, 23 (4): 1692-1706.
- [2] Verma V, Singh B. Design and implementation of a current-controlled parallel hybrid power filter [J].
   IEEE Transactions on Industry Applications, 2009, 45 (5): 1910-1917.
- [3] Gary W Chang, Shin-kuan Chen. An analytical approach for characterizing harmonic and interharmonic currents generated by VSI-fed adjustable speed drives [J]. IEEE Transactions on Power Delivery, 2005, 20 (4): 2555-2593.
- [4] 赵文强,梁少华,徐兵,等. SAPF安装点的选

- 择及对邻近负载影响的分析 [J]. 电力电子技术, 2013, 47(5): 81-84.
- [5] 戴珂,刘聪,李彦龙,等.并联型APF对两类非 线性负载的谐波补偿特性研究[J]. 电工技术学报,2013,28(9):79-85.
- [6] Zhao Wenqiang, Chen Guozhu. Approaches to shunt active power filter for application with capacitive nonlinear load [C]. Proceedings of IEEE International Symposium on Industrial Electronics, Seoul, IEEE, 2009; 1835-1840.
- [7] 赵文强,陈国柱.并联型APF在容性非线性负载中的应用[J]. 电力自动化设备,2009,29(12):59-64.
- [8] 马永,蔡建华. APF采样点的选取对滤波效果影响的研究[J]. 建筑电气, 2013(3): 48-52
- [9] 张树全,戴珂,谢斌,等.多同步旋转坐标系下 指定次谐波控制[J].中国电机工程学报,2010, 30(3):55-62.
- [10] 张树全,戴珂,谢斌,等.并联型有源电力滤波器指定次无静差控制策略[J].电力电子技术,2009(3):33-38.

(收稿日期: 2017-03-11) EA

#### (上接第40页)

字控制的LLC变换器 [C]. 中国电机工程学会第十三届青年学术会议论文集, 2014; 363-366.

- [6] 陈良亮,张蓓蓓,周斌,等.电动汽车非车载 充电机充电模块的研制[J].电力系统自动化, 2011,35(7):81-85.
- [7] 耿中星.基于谐振并联均流模块化高频充电机的 研究与设计 [D].南京:南京理工大学,2014.
- [8] 黄志武, 唐明明. LLC谐振全桥变换器在交流传动电力机车充电机中的应用[J]. 通信电源技术, 2009, 26(1): 1-4.
- [9] 陈新,姬秋华,刘飞.基于微网主从结构的平滑 切换控制策略 [J]. 电工技术学报,2014,29(2):163-170.
- [10] 吴卫民,何远彬,耿攀,等.直流微网研究中的

- 关键技术 [J]. 电工技术学报, 2012, 27 (1): 98-106.
- [11] 张强,姚绪梁,张敬南.大功率直流电源并联运行的均流控制[J].电力电子技术,2011,45(3):73-75.
- [12] 符赞宣, 瞿文龙, 张旭. 平均电流模式 DC/DC变换器均流控制方法 [J]. 清华大学学报: 自然科学版, 2003, 43(3): 337-340.
- [13] 罗伟伟, 李忠志, 王振民, 等. 全数字化特种电源实时并机系统研究 [J]. 电力电子技术, 2012, 46(6): 73-76.
- [14] 杜海江,李玉凯. 小型嵌入式系统的分析方法-IFSM [J]. 单片机与嵌入式系统应用,2006,6 (4):17-19.

(收稿日期: 2016-09-06) **EA**